L'amplificateur opérationnel a pris une place prépondérante dans les circuits de l'électronique linéaire, où il est le plus souvent utilisé en chaîne fermée.

Son comportement et ses caractéristiques de fonctionnement sont généralement étudiés au départ d'un système idéalisé, ayant notamment un gain infini en boucle ouverte et une impédance d'entrée différentielle infinie.

La tension d'entrée différentielle de l'amplificateur opérationnel

Les écarts entre les résultats ainsi calculés et les valeurs mesurées sont dus à la valeur finie des paramètres de l'amplificateur opérationnel réel. Les performances d'un montage en boucle fermée sont ainsi fonction de l'élément contre-réactionné.

Quelques mesures très simples sur un montage amplificateur linéaire mettent en évidence un aspect du problème qui est souvent ignoré.

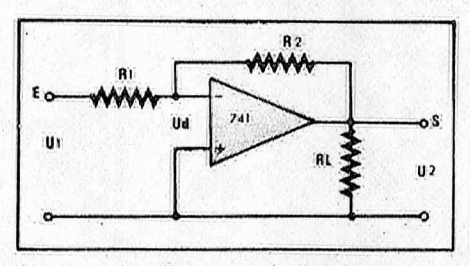


Fig. 1. – Amplificateur opérationnel monté en amplificateur linéaire de gain $A = R_2/R_1$.

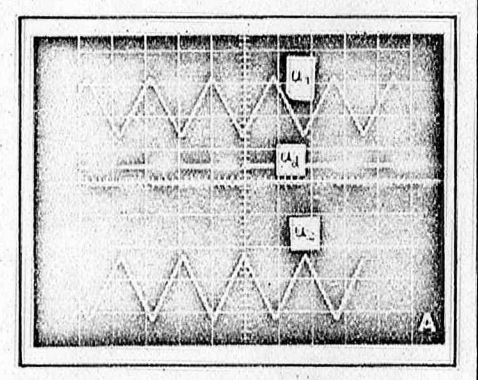


Photo A. – u₁ = tension triangulaire appliquée à l'entrée du montage de la figure 1 (1 V/div.), u_d = tension différentielle mesurée au point D (50 mV/div.).

u₂ = tension de sortie mesurée au point S (10 V/div.).

(Ce dernier oscillogramme a été photographié après une seconde exposition de la pellicule). Base de temps : 0,5 ms/div.

La tension différentielle d'entrée

1) Une expérience

Le montage de la figure 1 est des plus classiques: il s'agit tout simplement d'un amplificateur opérationnel fonctionnant avec un gain en boucle fermée A, déterminé par les résistances R₁ et R₂, tel que

$$\dot{A} = \frac{u_2}{u_1} = -\frac{R_2}{R_1} \tag{1}$$

Nous supposons évidemment que le gain Ao en boucle ouverte est très élevé.

Appliquons à l'entrée E une tension u₁ en forme de dent de scie, et visualisons sur un oscilloscope à double trace cette tension d'entrée et la tension de sortie u₂:

Avec 4

 $R_2 = 100 \text{ k}\Omega \text{ et } R_1 = 10 \text{ k}\Omega$

nous aurons donc un gain A = -10, et à la sortie S nous observons bien un signal triangulaire u₂ d'amplitude dix fois plus grande que celle de u₁, et déphasée de 180° par rapport à celle-

Observons maintenant la tension au point D, c'est-à-dire la tension différentielle d'entrée u_d de l'amplificateur opérationnel:

La trace sur l'oscilloscope est une belle onde rectangulaire ayant une amplitude d'environ 25 mV crête à crête... D'où vient cette onde rectangulaire?

La photo A montre les trois signaux u₁, u_d et u₂ (la trace u₂ a été obtenue en exposant la pellicule une seconde fois, après avoir substitué le signal u₂ au signal u₁ sur l'une des deux entres de l'oscilloscope, et positionnement correct de la nouvelle trace).

L'examen des trois oscillogrammes nous permet de tirer les conclusions suivantes:

- la tension différentielle u_d est proportionnelle à la dérivée changée de signe, de la tension de sortie u₂;
- u_d est aussi proportionnelle à la dérivée de la tension triangulaire d'entrée (cette propriété est tout simplement la conséquence de la précédente);
- la tension de sortie u₂ est proportionnelle à l'intégrale - changée de signe - de la tension différentielle u_d.

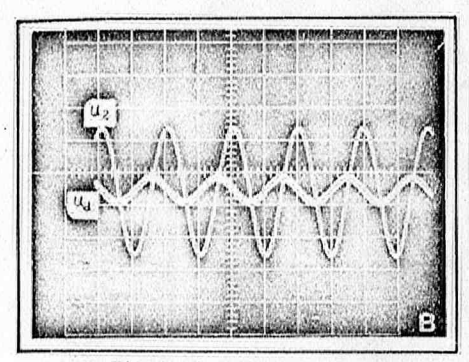


Photo B. – Tension de sortie u₂ (5 V / div.) et tension différentielle u_d (50 mV / div.) pour un signal d'entrée sinusoïdal de fréquence 1 kHz. Base de temps 0,5 ms/ div.

Ne nous arrêtons pas en si bon chemin et appliquons un signal d'entrée sinusoïdal... le même montage nous donne, comme prévu, une tension sinusoïdale amplifiée dix fois en S, mais... la tension ud au point D est déphasée de 90° par rapport à u2, ce qui ne fait que confirmer les conclusions énoncées ci-dessus (photos B et C).

Enfin, une onde rectangulaire à l'entrée E fait apparaître en D des impulsions triangulaires étroites, à lancées alternativement positives et négatives, selon les flancs montants ou descendants des créneaux d'entrée (photos D et E).

2) Explication du phénomène

a - Le gain en boucle ouverte de l'amplificateur opérationnel n'est pas infini

Le raisonnement habituellement appliqué à l'amplificateur opérationnel est basé sur l'approximation qui consiste à supposer que son gain Ao en boucle ouverte est infini, soit

$$A_0 = \frac{u_2}{u_d} = \infty$$

d'où

$$u_d = \frac{u_2}{\infty} = 0$$

ce qui revient encore à admettre qu'il n'existe aucune différence de potentiel entre les bornes (+) et (-) du circuit.

La borne non inverseuse (+) étant connectée à la masse (point de potentiel « zéro »), le point D (entrée inverseuse) est alors une « masse fictive ou virtuelle » (*).

Mais la réalité est toute autre.

Le gain en boucle ouverte n'est jamais infini... suivant le type d'amplificateur, la tension d'alimentation, la température et... la résistance de charge R_L, on arrive pratiquement à

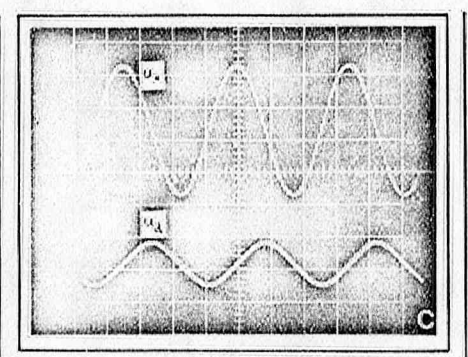


Photo C. – Tensions u2 (5 V / div.) et ug (0,1 V / div.) pour un signal d'entrée sinusoïdal de fréquence 3 kHz. Base de temps : 0,1 ms/div.

des valeurs de A₀ de l'ordre de 10 000 (80 dB) à 200 000 (110 dB)... en continu... et aux très basses fréquences seulement.

Ceci nous amène à représenter le gain en chaîne ouverte par le symbole A_0 (ω) pour bien indiquer la variation en fonction de la fréquence (ou pulsation ω).

b - La bande passante est limitée

La bande passante est loin d'être infinie... Les amplificateurs opérationnels à compensation interne se caractérisent par une diminution de A₀ (ω) avec la fréquence de 6 dB par octave (20 dB par décade) au-delà de la fréquence de coupure f_c qui correspond à

$$\frac{A_0(\omega)}{A_0} = \frac{1}{\sqrt{2}}$$
, soit – 3 dB

Et cette fréquence de coupure f_c est même relativement basse... inférieure à 10 Hz, jusqu'à quelques centaines de Hz, selon le type de l'amplificateur utilisé.

La figure 2 montre en a la réponse en boucle ouverte d'un amplificateur opérationnel du type 741, et en b, la courbe de phase correspondante.

On notera que la fréquence de coupure f_o se situe vers 10 Hz, tandis que la fréquence de transition f_T pour laquelle $A_O(\omega) = 1$ (O dB) se trouve à environ 1 MHz.

c - L'amplificateur opérationnel réel intègre au-delà de sa fréquence de coupure

La courbe de réponse en boucle ouverte de la figure 2-a peut s'exprimer mathématiquement par la relation

$$-A_{0}(\omega) = \frac{-A_{0}}{1 + j\frac{\omega}{\omega_{0}}} = \frac{-A_{0}}{1 + j\frac{f}{f_{c}}} (2)$$

dans laquelle Ao représente le gain (maximum) en continu et aux très basses fréquences (bien inférieures à f.)

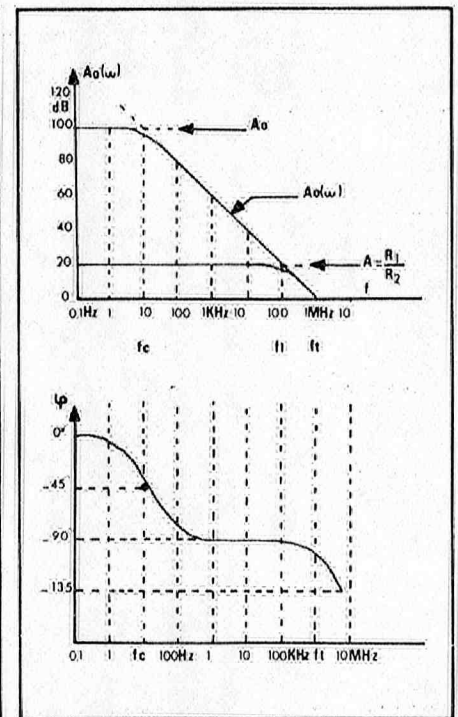


Fig. 2. – a) Courbe de réponse $A(f_{io})$ en boucle ouverte, et gain A=20 dB en chaîne fermée : $f_{c}=$ fréquence de coupure de l'amplificateur opérationnel en boucle ouverte.

f1 = fréquence de coupure en boucle fermée, correspondant à un gain A de 20 dB.

 $f_T = fréquence de transition pour laquelle <math>Ao(\omega) = 1 (O dB)$,

b) Courbe de phase de l'amplificateur opérationnel en boucle ouverte.

En passant à la notation symbolique de Laplace ($p = j \omega$) la réponse s'écrit encore

$$A_0(\omega) = \frac{-A_0}{1 + p\tau_0} \tag{3}$$

avec

$$r_{c} = \frac{1}{\omega_{c}} = \frac{1}{2 \pi f_{c}} = \frac{T_{c}}{2 \pi}$$

 la constante de temps correspondant à la fréquence de coupure de l'amplificateur.

Il est intéressant de noter qu'à la fréquence de coupure f_c la tension u_2 est déphasée de 45° (à 180° près) par rapport à u_d .

En appendice, on trouvera l'explication physique de l'existence de la constante de temps $\tau_{\rm c}$.

Si nous considérons une fréquence (ou une pulsation) suffisamment élevée, telle que $\omega \geqslant \omega_c$, la relation (2) se simplifie et devient

$$\frac{u_2}{u_d} = -A_0 (\omega) =$$

$$\frac{-A_0}{j\frac{\omega}{\omega_c}} = \frac{-A_0}{j\omega\tau_c} = \frac{-A_0}{p.\tau_c}$$
 (4)

L'expression (4) est bien celle d'une fonction intégrale (**) (l'intégrale d'une fonction se limite, sur sa transformée de Laplace, à une division par p).

^(*) Le terme « virtuel » est utilisé ici pour bien montrer que si u_d est nulle, aucun courant ne passe entre les deux points équipotentiels (+) et (-).

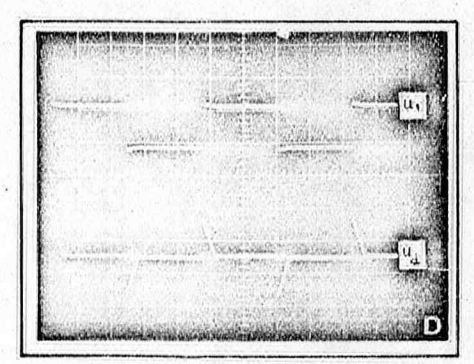


Photo D. – Tension d'entrée rectangulaire u₁ (2 V / div.) de fréquence 1 kHz, et tension différentielle u_d (2 V / div.) correspondante. Base de temps : 0.2 ms/div.

Supposons qu'il existe une tension sinusoïdale entre les bornes d'entrée différentielles de l'amplificateur opérationnel, soit

$$u_d = U_d$$
 . $\sin \omega t = U_d$. $\varepsilon^{j\omega t}$ (5)

Si $\omega \geqslant \omega_c$, la tension de sortie u₂, tirée de (4) devient

$$u_2 = -A_0 (\omega) \cdot u_d = -\frac{u_d \cdot A_0}{j \omega \tau_c} = -\frac{u_d \cdot A_0}{p \cdot \tau_c}$$
 (6)

d - Les relations mathématiques entre u_d, u₁ et u₂

Dans le montage de la figure 1, nous appliquons à l'entrée E une tension périodique de forme d'onde quelconque, dont la fondamentale est située bien au-delà de la fréquence de coupure f_c.

Nous pouvons dès lors généraliser l'expression (6) en écrivant

$$u_2 = -A_0 (\omega) \cdot u_d =$$

$$-\frac{A_0}{\tau_c} \int_0^t u_d \cdot dt \qquad (7)$$

La relation (4) permet d'exprimer la tension différentielle u_d en fonction de la tension de sortie u₂, soit

$$u_{d} = -\frac{j \omega \cdot \tau_{c} \cdot u_{2}}{A_{0}} = -\frac{p \cdot \tau_{c} \cdot u_{s}}{A_{0}} = -\frac{\tau_{c} \cdot du_{2}}{A_{0} \cdot d \cdot t}$$
(8)

(La multiplication par $p = j\omega$ d'une fonction fait bien apparaître une opération de dérivation).

(**) Considérons l'expression

$$\frac{K}{\tau} \int_0^t u \cdot dt = \frac{K \cdot U}{\tau} \int_0^t \sin \omega t \cdot dt =$$

$$\frac{K \cdot U}{\omega \tau} \int_0^{\omega t} \sin \omega t \cdot d(\omega t)$$

$$=\frac{K \cdot U}{\omega \cdot \tau} (-\cos \omega t) = \frac{K \cdot U}{j \cdot \omega \tau} = \frac{K \cdot U}{p \cdot \tau}$$
 (a) ou, sous une autre forme encore

$$\frac{K}{\tau} \int_0^\tau u \cdot dt = \frac{K \cdot U}{\tau} \int_0^\tau e^{\rho_0 t} dt = \frac{K \cdot U}{t \cdot \omega \cdot \tau}$$
 (b)

On notera la parfaite analogie entre les expressions (a), (b), (4) et (6).

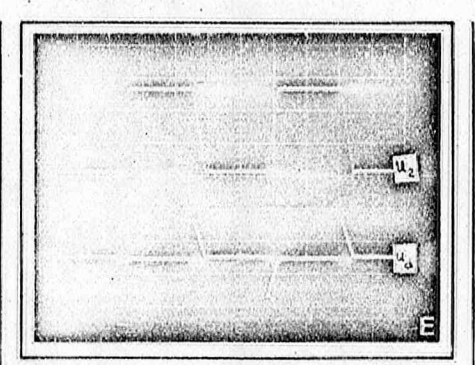


Photo E. – La tension de sortie u₂ (10 V/div.) correspondant au signal d'entrée u₁ de la photo D est limitée par saturation de l'amplificateur, et sa vitesse de variation est limitée par le « slew-rate ». La tension différentielle est la même que celle sur la photo D.

Enfin, en remarquant que $u_2 = -A \cdot u_1$ (équation 1), A représentant le gain en boucle ouverte, l'expression (8) s'écrit encore

$$u_d = \frac{p \cdot \tau_c \cdot A \cdot u_1}{A_0} = \frac{\tau_c \cdot A \cdot du_1}{A_0 \cdot dt}$$
 (9)

La tension différentielle est donc bien telle que, après avoir subi le « gain complexe intégrateur » A_O (ω) dans l'amplificateur opérationnel, elle donne à la sortie une forme d'onde qui correspond à la fonction intégrale changée de signe (ég. 7).

Cette tension différentielle est encore proportionnelle à la dérivée de la tension u₁ à amplifier (éq. 9) et elle est encore proportionnelle à la dérivée changée de signe de la tension de sortie u₂ (éq. 8).

Ainsi, l'obtention d'une onde triangulaire à la sortie, en provenance d'une tension de même forme d'onde à l'entrée, requiert l'apparition d'une tension rectangulaire entre les bornes d'entrée différentielles.

- Seule une cosinusoïde à l'entrée différentielle pourra produire une tension de sortie $u_2 = -A \cdot u_1$ de forme sinusoïdale.
- Et d'une manière générale, les relations (7), (8) et (9) seront vérifiées dans leur domaine de validité, c'est-à-dire:
- pour des signaux de fréquence nettement supérieure à la fréquence de coupure en boucle ouverte de l'amplificateur opérationnel;
- et si la réponse de ce dernier présente une pente de -6 dB/octave (réponse du premier ordre);
- si l'amplificateur ne fonctionne pas en régime de saturation et si les signaux considérés ont une vitesse de variation inférieure au « slew rate » de l'amplificateur considéré.
- Un moyen simple pour mesurer le gain en boucle ouverte en fonction de la fréquence

Reprenons l'expression (7) sous sa forme :

 $u_2 = -A_0 (\omega) \cdot u_0$

Le module du gain en boucle ouverte à une fréquence quelconque est donc tout simplement

$$\mid A_0 (\omega) \mid = \frac{u_2}{u_d}$$

Il suffit donc d'attaquer le montage de la figure 1 avec un générateur sinusoïdal à fréquence variable, et de mesurer, à l'aide d'un (milli)voltmètre les tensions u₂ et u_d, en veillant toutefois à ne pas saturer l'amplificateur (fig. 3).

On remarquera toutefois que la mesure de $A_0(\omega)$ par ce procédé est limitée du côté des fréquences élevées, par la fréquence de coupure f_1 de l'amplificateur en boucle fermée.

Pour l'amplificateur qui a servi aux expériences, nous avons mesuré une valeur $A_0 \simeq 80\,000$ en continu (98 dB) et $f_c \simeq 6,0$ Hz, ce qui conduit à $\tau_c = 26,5$ ms.

 L'effet de la vitesse de variation de la tension de sortie

On sait que la vitesse de variation de la tension de sortie – le « slew rate » – d'un amplificateur opérationnel est limitée. Ce phénomène se manifeste notamment par une triangulation de la tension de sortie en présence d'une tension sinusoïdale d'entrée, si l'amplitude ou (et) la fréquence dépassent une certaine limite. Il en résulte pratiquement une limitation en bande passante pour les forts signaux.

Cette limitation de la vitesse de montée apparaît tout particulièrement si l'on applique un signal rectangulaire à très faible temps de montée, comme le montrent les photos D et E: la tension de sortie u₂ est devenue trapézoïdale, la pente de montée (comme la pente de descente) mesurée sur l'oscillogramme u₂ de la photo D est:

S =
$$\frac{\Delta}{\Delta} \frac{U_2}{t} = \frac{2.6 \times 10 \text{ V}}{0.3 \times 200 \text{ }\mu\text{s}} = 0.433 \text{ V/}\mu\text{s}$$

ce qui correspond bien - aux incertitudes et aux tolérances de mesures près - à la valeur du slew-rate spécifiée pour l'amplificateur utilisé.

Il est normal que ce phénomène affecte également la tension différentielle qui se compose d'impulsions triangulaires d'amplitude relativement élevée (dans le cas présent, $U_{d_{max}} = 1,15 \times 2 = 2,3 \text{ V}$) et de durée $\Delta t = 60 \ \mu s$, égale au temps de montée du signal de sortie u_2 .

Dans le cas des photos D et E, les relations (7), (8) et (9) ne s'appliquent évidemment plus, car l'amplificateur opérationnel fonctionne en régime de saturation (amplitude $U_2 = 26$ V) et, de plus, la vitesse de variation du signal de sortie est limitée par le phénomène de « slew rate ».

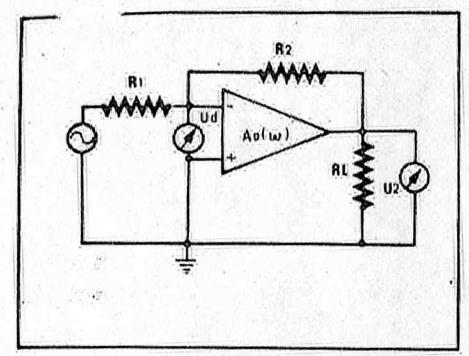


Fig. 3. – Montage en chaîne fermée, permettant de mesurer le gain Ac(w) en boucle ouverte à différentes fréquences.

Il en serait évidemment de même si l'on appliquait un signal d'entrée sinusoïdal dont l'amplitude – combinée avec la fréquence – donnerait lieu à une triangulation et/ou à un écrêtage des sommets du signal de sortie.

5) Résultats de mesure

Il est intéressant d'examiner les oscillogrammes de la photo F, qui donnent les signaux u_d et u₂ pour un signal d'entrée u₁ rectangulaire, de fréquence 10 kHz, de faible amplitude (0, 16 V) le gain en boucle fermée étant de 10.

On peut considérer que la pente du flanc de montée (et de descente) du signal u₂ est environ de 0,277 V/µs (valeur mesurée directement sur la photo).

L'application de la formule (8) donne, pour u_d , avec $\tau_c=26.5~ms$ et $A_0=80~000$, une amplitude

$$U_d = \frac{\tau_c}{A_0} \left(\frac{du_2}{d t_{max}} \right) =$$

$$\frac{26.5 \cdot 10^{-3}}{8 \cdot 10^{4}} \times 0.277$$
 . $10^{6} = 0.092 \ \lor$

Sur l'oscillogramme, on mesure une amplitude \dot{U}_d de l'ordre de 0,1 V.

Reprenons encore la photo A, sur laquelle nous mesurons la pente de la dent de scie de sortie

$$\frac{d\ U_2}{d\ t} = \frac{20\ V}{0.5\ ms} = 40\ .\ 10^{-3}\ V/s$$

Le calcul de l'amplitude U_d par la relation (8) donne

$$U_d = \frac{26.5 \cdot 10^{-3}}{8 \cdot 10^4} \times 40 \cdot 10^3$$

= 0.0132 V = 13.2 mV

Sur l'oscillogramme de u_d , nous mesurons une valeur de crête à crête $U_{dpp}=0,55 \times 50 \text{ mV}=27,5 \text{ mV}$ soit donc une amplitude

$$U_d = \frac{1}{2}U_{dpp} = 13,75 \text{ mV},$$

se qui concorde encore fort bien avec
a valeur calculée théoriquement.

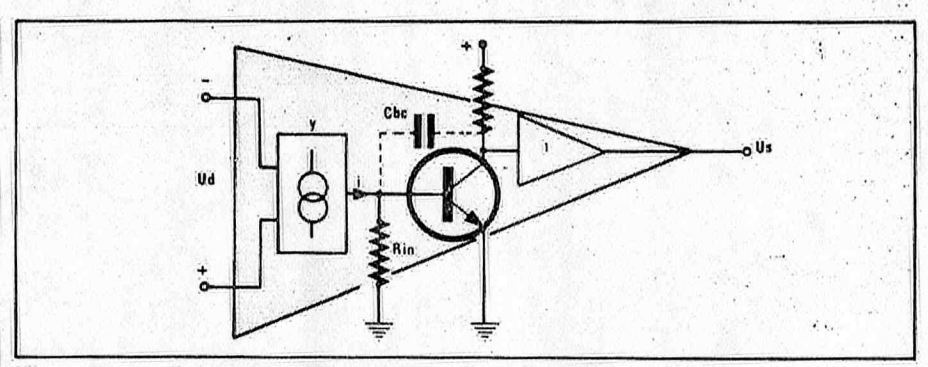


Fig. 4. - Schéma équivalent simplifié d'un amplificateur opérationnel.

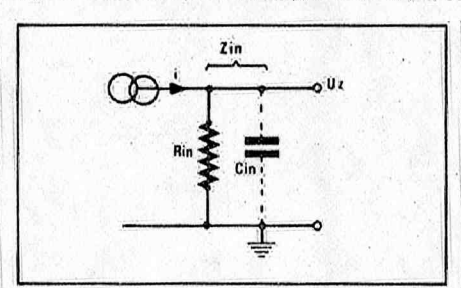


Fig. 5. – Le convertisseur tension-courant auquel on peut assimiler les étages d'entrée de l'amplificateur opérationnel, injecte un courant i dans l'impédance totale Z_{in} = R_{in}/|C_{in} à l'entrée du « transistor amplificateur de tension équivalent ».

D'où vient la constante de temps τ_c ?

D'une façon tout à fait générale un amplificateur opérationnel classique peut se représenter par un circuit équivalent simplifié, comprenant (fig. 4):

- un étage d'entrée (différentiel) fonctionnant comme convertisseur tension-courant;
- et un système amplificateur de tension qui peut être ramené à un « transistor équivalent » monté en émetteur commun :
- suivi d'un adaptateur d'impédance (émetteur suiveur) ne procurant aucun gain en tension.

Avec une tension différentielle u_d, le circuit d'entrée donne un courant i proportionnel à la pente de transfert y du convertisseur tension-courant, soit donc :

$$i = y \cdot u_d$$

Ce courant produit aux bornes de la résistance d'entrée globale de l'étage amplificateur de tension, un signal de base:

$$u_b = i \cdot R_{in} = u_d \cdot y \cdot R_{in}$$

qui apparaîtra amplifiée sur le collecteur et que l'on trouvera finalement à la sortie de l'étage adaptateur d'impédance, soit:

$$u_2 = A_2 \cdot u_b$$

A₂ étant le gain de l'étage amplificateur de tension.

Il existe inévitablement une certaine capacité C_{bc} entre collecteur et base du « transistor équivalent ». Pour assurer une décroissance de 6 dB/ octave du gain en boucle ouverte, on sera par ailleurs obligé d'augmenter cette capa-

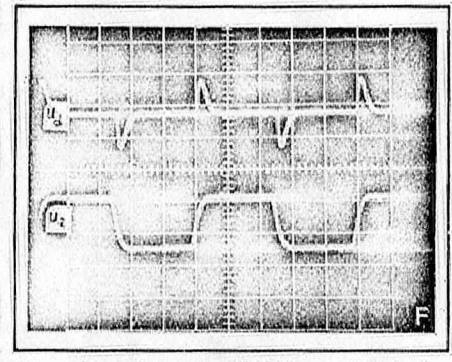


Photo F. – La tension u_d (0,1 V/div.) et la tension de sortie u₂ (1 V/div.) correspondant à un signal d'entrée rectangulaire de fréquence 10 l/1z. Base de temps: 20 µs/div. L'oscillogramme u₂ a été photographié après une seconde exposition, non synchronisé avec le signal u_d, d'où son inversion de phase.

cité C_{bc}, soit en l'intégrant dans le circuit même (cas du 741), soit en connectant une capacité de compensation extérieure.

Par « effet Miller », cette capacité C_{bc} , ramenée à l'entrée du transistor, se trouve pratiquement multipliée par A_2 , soit : $C_{in} = A_2 \cdot C_{bc}$

Il en résulte que l'étage convertisseur d'entrée fournit son courant à l'ensemble R_{in}-C_{in} en parallèle, d'où (fig. 5):

$$u_b = i \cdot Z_{in} = y \cdot u_d \cdot \frac{R_{in}}{1 + j \cdot \omega \cdot C \cdot R}$$

et par conséquent

$$u_2 = u_d \; \frac{y \cdot R_{in} \cdot A_2}{1 \; + \; j \; \omega \cdot C_{in} \cdot R_{in}}$$
 ou encore

$$A_0 (\omega) = \frac{u_2}{u d} = \frac{A_1 \cdot A_2}{1 + j \cdot \omega \cdot C_{in} \cdot R_{in}} = \frac{A_0}{1 + j \cdot \omega \cdot C_{in} \cdot R_{in}}$$

Le circuit R_{in}C_{in} introduit donc un pôle de coupure à 6 dB par octave à la fréquence f_c telle que

$$\omega$$
 . C_{in} . $R_{in} = \omega_c$. $\tau_c = 1$

soit

$$f_{c} = \frac{1}{2 \pi \cdot R_{in} \cdot A_{2} \cdot C_{bc}} = \frac{1}{2 \pi \cdot \tau_{c}}$$

ave

$$r_{\rm c} = A_2 \cdot R_{\rm in} \cdot C_{\rm bc}$$

Jos DE NEEF Chargé de cours à l'Institut Supérieur Industriel de l'Etat - Bruxelles